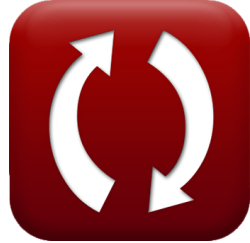




calculatoratoz.com



unitsconverters.com

De Zweedse Slip Circle-methode Formules

Rekenmachines!

Voorbeelden!

Conversies!

Bladwijzer calculatoratoz.com, unitsconverters.com

Breedste dekking van rekenmachines en groeiend - **30.000+ rekenmachines!**

Bereken met een andere eenheid voor elke variabele - **In ingebouwde eenheidsconversie!**

Grootste verzameling maten en eenheden - **250+ metingen!**

DEEL dit document gerust met je vrienden!

[Laat hier uw feedback achter...](#)



Lijst van 38 De Zweedse Slip Circle-methode Formules

De Zweedse Slip Circle-methode ↗

1) Afstand tussen actielijn en lijn die door het centrum loopt, gegeven gemobiliseerde cohesie ↗

$$fx \quad x' = \frac{c_m}{W \cdot d_{\text{radial}}} \quad L'$$

[Rekenmachine openen ↗](#)

$$ex \quad 0.89253m = \frac{3.57Pa}{\frac{8N \cdot 1.5m}{3.0001m}}$$

2) Afstand tussen actielijn en lijn die door het midden gaat, gegeven rijkmoment ↗

$$fx \quad x' = \frac{M_D}{W}$$

[Rekenmachine openen ↗](#)

$$ex \quad 1.25m = \frac{10.0kN*m}{8N}$$



3) Afstand tussen actielijn van gewicht en lijn die door het midden loopt**Rekenmachine openen**

$$x' = \frac{c_u \cdot L' \cdot d_{\text{radial}}}{W \cdot f_s}$$

$$\text{ex} \quad 2.008996m = \frac{10\text{Pa} \cdot 3.0001m \cdot 1.5m}{8\text{N} \cdot 2.8}$$

4) Curvelengte van elke plak gegeven weerstandskracht uit de vergelijking van Coulomb**Rekenmachine openen**

$$\Delta L = \frac{F_r - (N \cdot \tan((\phi)))}{c_u}$$

$$\text{ex} \quad 3.412641m = \frac{35\text{N} - (4.99\text{N} \cdot \tan((9.93^\circ)))}{10\text{Pa}}$$

5) Eenheid Cohesie gegeven Gemobiliseerde schuifweerstand van de bodem**Rekenmachine openen**

$$c_u = f_s \cdot c_m$$

$$\text{ex} \quad 9.996\text{Pa} = 2.8 \cdot 3.57\text{Pa}$$



6) Eenheidscohesie gegeven Som van tangentiële component

fx

$$c_u = \frac{(f_s \cdot F_t) - \left(\sum N \cdot \tan\left(\frac{\phi \cdot \pi}{180}\right) \right)}{L},$$

Rekenmachine openen **ex**

$$10.26127 \text{ Pa} = \frac{(2.8 \cdot 11.0 \text{ N}) - \left(5.01 \text{ N} \cdot \tan\left(\frac{9.93^\circ \cdot \pi}{180}\right) \right)}{3.0001 \text{ m}}$$

7) Eenheidscohesie gegeven Veiligheidsfactor

fx

$$c_u = f_s \cdot \frac{W \cdot x'}{L \cdot d_{\text{radial}}}$$

Rekenmachine openen **ex**

$$6.222015 \text{ Pa} = 2.8 \cdot \frac{8 \text{ N} \cdot 1.25 \text{ m}}{3.0001 \text{ m} \cdot 1.5 \text{ m}}$$

8) Eenheidscohesie gegeven weerstandskracht uit de vergelijking van Coulomb

fx

$$c_u = \frac{F_r - (N \cdot \tan((\phi)))}{\Delta L}$$

Rekenmachine openen **ex**

$$10.00188 \text{ Pa} = \frac{35 \text{ N} - (4.99 \text{ N} \cdot \tan((9.93^\circ)))}{3.412 \text{ m}}$$



9) Gegeven booghoek Lengte van de slipboog ↗

fx
$$\delta = \frac{360 \cdot L'}{2 \cdot \pi \cdot d_{\text{radial}}} \cdot \left(\frac{\pi}{180} \right)$$

[Rekenmachine openen ↗](#)

ex
$$2.000067 \text{ rad} = \frac{360 \cdot 3.0001 \text{ m}}{2 \cdot \pi \cdot 1.5 \text{ m}} \cdot \left(\frac{\pi}{180} \right)$$

10) Gegeven veiligheidsfactor Gemobiliseerde schuifweerstand van de bodem ↗

fx
$$f_s = \frac{c_u}{c_m}$$

[Rekenmachine openen ↗](#)

ex
$$2.80112 = \frac{10 \text{ Pa}}{3.57 \text{ Pa}}$$

11) Gemobiliseerde schuifweerstand van de bodem gegeven veiligheidsfactor ↗

fx
$$c_m = \frac{c_u}{f_s}$$

[Rekenmachine openen ↗](#)

ex
$$3.571429 \text{ Pa} = \frac{10 \text{ Pa}}{2.8}$$



12) Gemobiliseerde schuifweerstand van de grond gegeven het gewicht van de grond op de wig ↗

fx $c_m = \frac{W \cdot x' \cdot d_{\text{radial}}}{L}$

[Rekenmachine openen ↗](#)

ex $4.999833 \text{ Pa} = \frac{8 \text{ N} \cdot 1.25 \text{ m} \cdot 1.5 \text{ m}}{3.0001 \text{ m}}$

13) Gewicht van de grond op de wig gegeven de gemobiliseerde schuifweerstand van de grond ↗

fx $W = \frac{c_m}{x' \cdot d_{\text{radial}}} \cdot L'$

[Rekenmachine openen ↗](#)

ex $5.71219 \text{ N} = \frac{3.57 \text{ Pa}}{\frac{1.25 \text{ m} \cdot 1.5 \text{ m}}{3.0001 \text{ m}}}$

14) Gewicht van grond op wig gegeven Veiligheidsfactor ↗

fx $W = \frac{c_u \cdot L' \cdot d_{\text{radial}}}{f_s \cdot x'}$

[Rekenmachine openen ↗](#)

ex $12.85757 \text{ N} = \frac{10 \text{ Pa} \cdot 3.0001 \text{ m} \cdot 1.5 \text{ m}}{2.8 \cdot 1.25 \text{ m}}$



15) Hoek van interne wrijving gegeven weerstandsmoment ↗

fx $\Phi_i = a \tan \left(\frac{\left(\frac{M_R}{r} \right) - (c_u \cdot L')}{\Sigma N} \right)$

Rekenmachine openen ↗

ex $89.99618^\circ = a \tan \left(\frac{\left(\frac{45.05 \text{kN} \cdot \text{m}}{0.6 \text{m}} \right) - (10 \text{Pa} \cdot 3.0001 \text{m})}{5.01 \text{N}} \right)$

16) Lengte van de slipcirkel gegeven de som van de tangentiële component ↗

fx $L' = \frac{(f_s \cdot F_t) - (\Sigma N \cdot \tan\left(\frac{\varphi \cdot \pi}{180}\right))}{c_u}$

Rekenmachine openen ↗

ex $3.078485 \text{m} = \frac{(2.8 \cdot 11.0 \text{N}) - (5.01 \text{N} \cdot \tan\left(\frac{9.93^\circ \cdot \pi}{180}\right))}{10 \text{Pa}}$

17) Lengte van slipboog ↗

fx $L' = \frac{2 \cdot \pi \cdot d_{\text{radial}} \cdot \delta \cdot \left(\frac{180}{\pi}\right)}{360}$

Rekenmachine openen ↗

ex $3.00015 \text{m} = \frac{2 \cdot \pi \cdot 1.5 \text{m} \cdot 2.0001 \text{rad} \cdot \left(\frac{180}{\pi}\right)}{360}$



18) Lengte van slipboog gegeven veiligheidsfactor ↗

fx $L_s = \frac{f_s}{\frac{c_u \cdot d_{radial}}{W \cdot x'}}$

Rekenmachine openen ↗

ex $1.866667m = \frac{2.8}{\frac{10Pa \cdot 1.5m}{8N \cdot 1.25m}}$

19) Moment van weerstand gegeven eenheidscohesie ↗

fx $M_R = (c_u \cdot L' \cdot d_{radial})$

Rekenmachine openen ↗

ex $45.0015kN \cdot m = (10Pa \cdot 3.0001m \cdot 1.5m)$

20) Moment van weerstand gegeven Veiligheidsfactor ↗

fx $M_r = f_s \cdot M_D$

Rekenmachine openen ↗

ex $28kN \cdot m = 2.8 \cdot 10.0kN \cdot m$

21) Normale component gegeven weerstandskracht uit de vergelijking van Coulomb ↗

fx $F_N = \frac{F_r - (c_u \cdot \Delta L)}{\tan((\varphi))}$

Rekenmachine openen ↗

ex $5.026632N = \frac{35N - (10Pa \cdot 3.412m)}{\tan((9.93^\circ))}$



22) Radiale afstand vanaf het rotatiecentrum gegeven de gemobiliseerde schuifweerstand van de grond ↗

fx $d_{\text{radial}} = \frac{c_m}{W \cdot x'}$

[Rekenmachine openen ↗](#)

ex $1.071036m = \frac{3.57Pa}{\frac{8N \cdot 1.25m}{3.0001m}}$

23) Radiale afstand vanaf het rotatiecentrum gegeven de lengte van de slipboog ↗

fx $d_{\text{radial}} = \frac{360 \cdot L'}{2 \cdot \pi \cdot \delta \cdot \left(\frac{180}{\pi}\right)}$

[Rekenmachine openen ↗](#)

ex $1.499975m = \frac{360 \cdot 3.0001m}{2 \cdot \pi \cdot 2.0001\text{rad} \cdot \left(\frac{180}{\pi}\right)}$

24) Radiale afstand vanaf het rotatiecentrum gegeven moment van weerstand ↗

fx $d_{\text{radial}} = \frac{M_R}{c_u \cdot L}$

[Rekenmachine openen ↗](#)

ex $1.501617m = \frac{45.05kN*m}{10Pa \cdot 3.0001m}$



25) Radiale afstand vanaf rotatiecentrum gegeven veiligheidsfactor 

fx $d_{\text{radial}} = \frac{f_s}{\frac{c_u \cdot L}{W \cdot x'}}$

Rekenmachine openen 

ex $0.933302 \text{m} = \frac{2.8}{\frac{10 \text{Pa} \cdot 3.0001 \text{m}}{8 \text{N} \cdot 1.25 \text{m}}}$

26) Rijmoment gegeven Gewicht van grond op wig 

fx $M_D = W \cdot x'$

Rekenmachine openen 

ex $10 \text{kN} \cdot \text{m} = 8 \text{N} \cdot 1.25 \text{m}$

27) Rijmoment gegeven Radius of Slip Circle 

fx $M_D = r \cdot F_t$

Rekenmachine openen 

ex $6.6 \text{kN} \cdot \text{m} = 0.6 \text{m} \cdot 11.0 \text{N}$

28) Rijmoment gegeven Veiligheidsfactor 

fx $M_D = \frac{M_R}{f_s}$

Rekenmachine openen 

ex $16.08929 \text{kN} \cdot \text{m} = \frac{45.05 \text{kN} \cdot \text{m}}{2.8}$



29) Som van normale component gegeven Veiligheidsfactor ↗

fx

$$\Sigma F_N = \frac{(f_s \cdot F_t) - (c_u \cdot L')}{\tan\left(\frac{\Phi_i \cdot \pi}{180}\right)}$$

[Rekenmachine openen ↗](#)

ex

$$31.64481N = \frac{(2.8 \cdot 11.0N) - (10Pa \cdot 3.0001m)}{\tan\left(\frac{82.87^\circ \cdot \pi}{180}\right)}$$

30) Som van normale component gegeven weerstandsmoment ↗

fx

$$\Sigma N = \frac{\left(\frac{M_R}{r}\right) - (c_u \cdot L')}{\tan((\Phi_i))}$$

[Rekenmachine openen ↗](#)

ex

$$5.639274N = \frac{\left(\frac{45.05kN*m}{0.6m}\right) - (10Pa \cdot 3.0001m)}{\tan((82.87^\circ))}$$

31) Som van tangentiële component gegeven rijmoment ↗

fx

$$F_t = \frac{M_D}{r}$$

[Rekenmachine openen ↗](#)

ex

$$16.66667N = \frac{10.0kN*m}{0.6m}$$



32) Som van tangentiële component gegeven Veiligheidsfactor

$$fx \quad F_t = \frac{(c_u \cdot L') + (\sum N \cdot \tan\left(\frac{\phi \cdot \pi}{180}\right))}{f_s}$$

[Rekenmachine openen !\[\]\(65669ef2a9341eca7c5ba6092e766555_img.jpg\)](#)

$$ex \quad 10.72006N = \frac{(10Pa \cdot 3.0001m) + (5.01N \cdot \tan\left(\frac{9.93^\circ \cdot \pi}{180}\right))}{2.8}$$

33) Totale lengte van slippcirkel gegeven weerstandsmoment

$$fx \quad L' = \frac{\left(\frac{M_R}{r}\right) - (\sum N \cdot \tan((\Phi_i)))}{c_u}$$

[Rekenmachine openen !\[\]\(eaac180de418db4eae4b4cefebda75e8_img.jpg\)](#)

$$ex \quad 3.503164m = \frac{\left(\frac{45.05kN*m}{0.6m}\right) - (5.01N \cdot \tan((82.87^\circ)))}{10Pa}$$

34) Veiligheidsfactor gegeven Eenheidscohesie

$$fx \quad f_s = \frac{c_u \cdot L_s \cdot d_{radial}}{W \cdot x},$$

[Rekenmachine openen !\[\]\(43fda5baa5446493352974e4b4060607_img.jpg\)](#)

$$ex \quad 2.799 = \frac{10Pa \cdot 1.866m \cdot 1.5m}{8N \cdot 1.25m}$$



35) Veiligheidsfactor gegeven Moment van weerstand ↗

$$fx \quad f_s = \frac{M_R}{M_D}$$

[Rekenmachine openen ↗](#)

$$ex \quad 4.505 = \frac{45.05\text{kN}\cdot\text{m}}{10.0\text{kN}\cdot\text{m}}$$

36) Veiligheidsfactor gegeven Som van tangentiële component ↗

$$fx \quad f_s = \frac{(c_u \cdot L') + (\sum N \cdot \tan(\frac{\varphi \cdot \pi}{180}))}{F_t}$$

[Rekenmachine openen ↗](#)

$$ex \quad 2.728741 = \frac{(10\text{Pa} \cdot 3.0001\text{m}) + (5.01\text{N} \cdot \tan(\frac{9.93^\circ \cdot \pi}{180}))}{11.0\text{N}}$$

37) Weerstaan van kracht uit de vergelijking van Coulomb ↗

$$fx \quad F_r = ((c_u \cdot \Delta L) + (N \cdot \tan((\varphi))))$$

[Rekenmachine openen ↗](#)

$$ex \quad 34.99359\text{N} = ((10\text{Pa} \cdot 3.412\text{m}) + (4.99\text{N} \cdot \tan((9.93^\circ))))$$

38) Weerstand biedend moment gegeven straal van slipcirkel ↗

$$fx \quad M_R = r \cdot ((c_u \cdot L') + (\sum N \cdot \tan((\Phi_i))))$$

[Rekenmachine openen ↗](#)

ex

$$42.03162\text{kN}\cdot\text{m} = 0.6\text{m} \cdot ((10\text{Pa} \cdot 3.0001\text{m}) + (5.01\text{N} \cdot \tan((82.87^\circ))))$$



Variabelen gebruikt

- c_m Gemobiliseerde schuifweerstand van de bodem (*Pascal*)
- c_u Eenheid Cohesie (*Pascal*)
- d_{radial} Radiale afstand (*Meter*)
- F_N Normale krachtcomponent in de bodemmechanica (*Newton*)
- F_r Weerstandskracht (*Newton*)
- f_s Veiligheidsfactor
- F_t Som van alle tangentiële componenten in de bodemmechanica (*Newton*)
- L_s Lengte van de slipboog met veiligheidsfactor (*Meter*)
- L Lengte van de slipboog (*Meter*)
- M_D Rijmoment (*Kilonewton-meter*)
- M_r Moment van weerstand met veiligheidsfactor (*Kilonewton-meter*)
- M_R Weerstandsmoment (*Kilonewton-meter*)
- N Normale component van kracht (*Newton*)
- r Straal van slippervel (*Meter*)
- W Lichaamsgewicht in Newton (*Newton*)
- x Afstand tussen LOA en COR (*Meter*)
- δ Booghoek (*radiaal*)
- ΔL Curve lengte (*Meter*)
- ΣF_N Som van alle normale componenten in de bodemmechanica (*Newton*)
- ΣN Som van alle normale componenten (*Newton*)
- φ Hoek van interne wrijving (*Graad*)



- Φ_i Hoek van interne wrijving van de bodem (Graad)



Constanten, functies, gebruikte metingen

- **Constante:** pi, 3.14159265358979323846264338327950288

De constante van Archimedes

- **Functie:** atan, atan(Number)

Inverse tan wordt gebruikt om de hoek te berekenen door de raaklijnverhouding van de hoek toe te passen, namelijk de tegenoverliggende zijde gedeeld door de aangrenzende zijde van de rechthoekige driehoek.

- **Functie:** tan, tan(Angle)

De tangens van een hoek is de goniometrische verhouding van de lengte van de zijde tegenover een hoek tot de lengte van de zijde grenzend aan een hoek in een rechthoekige driehoek.

- **Meting:** Lengte in Meter (m)

Lengte Eenheidsconversie 

- **Meting:** Druk in Pascal (Pa)

Druk Eenheidsconversie 

- **Meting:** Kracht in Newton (N)

Kracht Eenheidsconversie 

- **Meting:** Hoek in Graad ($^{\circ}$), radiaal (rad)

Hoek Eenheidsconversie 

- **Meting:** Moment van kracht in Kilonewton-meter (kN*m)

Moment van kracht Eenheidsconversie 



Controleer andere formulelijsten

- Draagvermogen voor stripfundering voor C-Φ bodems
[Formules](#) ↗
 - Draagvermogen van cohesieve grond [Formules](#) ↗
 - Draagvermogen van niet-samenhangende grond
[Formules](#) ↗
 - Draagkracht van bodems
[Formules](#) ↗
 - Draagkracht van de bodem: de analyse van Meyerhof
[Formules](#) ↗
 - Stabiliteitsanalyse van de fundering [Formules](#) ↗
 - Atterberg-grenzen [Formules](#) ↗
 - Draagkracht van de bodem: analyse van Terzaghi
[Formules](#) ↗
 - Verdichting van de bodem
[Formules](#) ↗
 - Grondverzet [Formules](#) ↗
 - Zijwaartse druk voor cohesieve en niet-cohesieve grond
[Formules](#) ↗
 - Minimale funderingsdiepte volgens Rankine's analyse
-
- Formules [Formules](#) ↗
 - Stapelfunderingen [Formules](#) ↗
 - Porositeit van bodemonster
[Formules](#) ↗
 - Schraper productie [Formules](#) ↗
 - Kwelanalyse [Formules](#) ↗
 - Hellingstabilitetsanalyse met behulp van de Bishops-methode
[Formules](#) ↗
 - Hellingstabilitetsanalyse met behulp van de Culman-methode
[Formules](#) ↗
 - Bodemoorsprong en zijn eigenschappen [Formules](#) ↗
 - Soortelijk gewicht van de bodem
[Formules](#) ↗
 - Stabiliteitsanalyse van oneindige hellingen [Formules](#) ↗
 - Stabiliteitsanalyse van oneindige hellingen in prisma [Formules](#) ↗
 - Trillingscontrole bij explosieven
[Formules](#) ↗
 - Leegteverhouding van bodemonster [Formules](#) ↗
 - Watergehalte van bodem en gerelateerde formules
[Formules](#) ↗



DEEL dit document gerust met je vrienden!

PDF Beschikbaar in

[English](#) [Spanish](#) [French](#) [German](#) [Russian](#) [Italian](#) [Portuguese](#) [Polish](#) [Dutch](#)

7/16/2024 | 6:36:13 AM UTC

[Laat hier uw feedback achter...](#)

